

船舶阻力

第七讲:船在限制航道中的阻力 (4学时)

> 無甲龙 主讲 船舶与海洋工程系 2023年10月



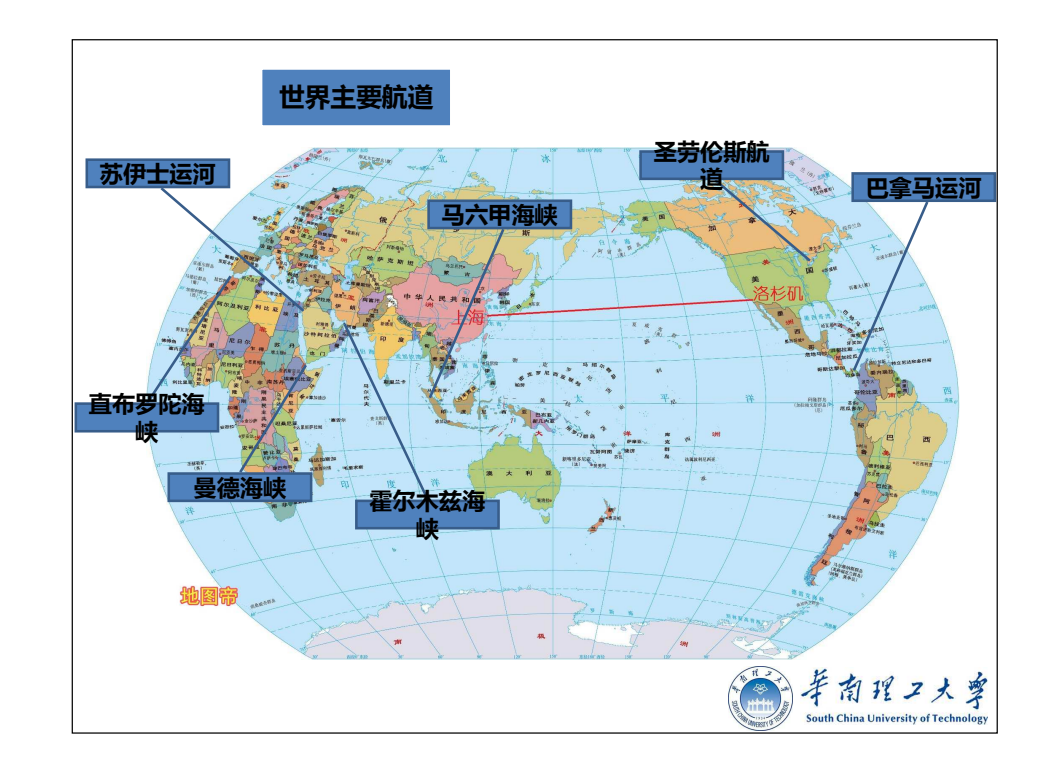
目录

第七讲:船在限制航道中的阻力

- ▶ 1浅水对阻力的影响
- ▶ 2确定浅水阻力的方法
- > 3 狭水道对阻力的影响









巴拿马运河

宽的地方达304米,最窄的地方152米。

巴拿马运河位于中美洲国家的巴拿马。是连接太平洋和大西洋的重 要航道,被誉为"世界七大工程奇迹之一"的世界桥梁。



影响因素:

航道对船舶阻力的影响主要取决于航道的深度、宽度和船 舶主尺度、航速之间的相对情况。

分类:

限制航道主要分为浅水航道和狭窄水道两类。其对船舶阻 力的影响也有所不同。



1 浅水对阻力的影响

浅水对阻力的影响主要是由于船体周围的流场 及兴波情况发生变化引起的。

一、浅水对船体周围流场和粘性阻力的影响

浅水中船周围的流场发生变化,主要表现为船侧、船 底的流速比深水增大,压力降低,致使粘性阻力增加。同 时,使船的吃水增加和船的航态发生变化。

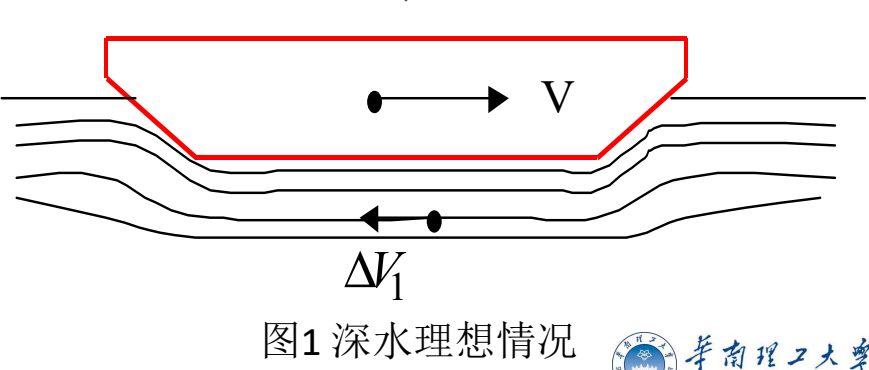
- 1. 回流速度增大
- 2. 航态变化
- 3. 对粘性阻力的影响 编 者有程 2 大學



1、回流速度增大

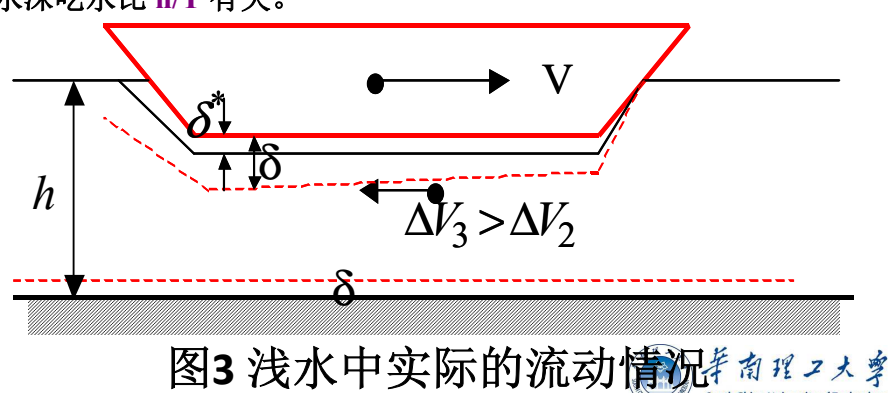
回流速度:流体在流经船体时,由于船体曲率的影响,除了船舶的艏艉两端外,船体周围的水流速度较来流速度大。设其平均增量为 $\Delta V1$,由于 $\Delta V1$ 与船速方向相反,故称为回流速度。

$$\Delta v = v_{x} - v_{S}$$

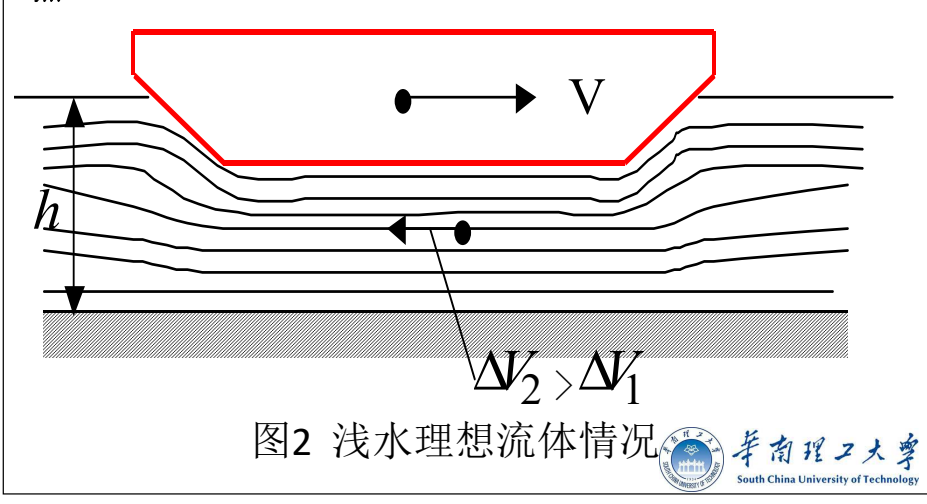


在浅水实际流体中,受流体粘性影响,在船底形成由前向后逐渐变厚的边界层,使两边界层之间的水流区更窄,流体的速度更快,即回流速度 $\triangle v_3$ 进一步增大,显然 $\triangle v_3$ > $\triangle v_2$ 。

由于浅水对流场影响使回流速度增大的现象称为浅水阻塞效应。实验结果表明,回流速度 \triangle v与 $\sqrt{Am}/h(Am$ 种横剖面面积)或水深吃水比 h/T 有关。



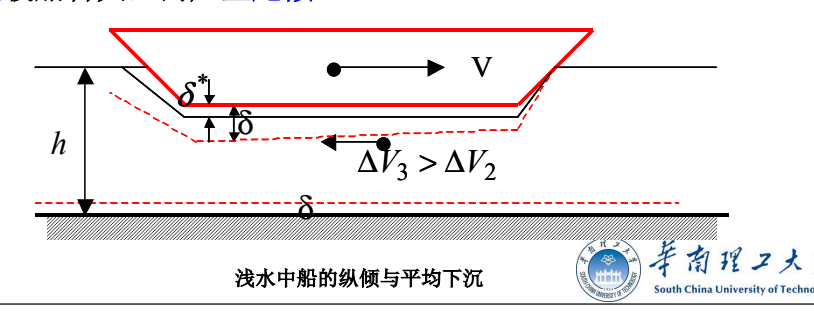
在浅水理想流体中,受水深限制,船底和水底之间的间隙 (称为剩余水深) 较小,根据连续方程,水流流经船体时,船体周围的流速较无限水深情况时大,即回流速度增大,记为 \triangle v2,显 &\Deltav2 > \triangle v1。



2、航态变化

船舶在浅水中航行时,船体周围流场受浅水影响的同时,还伴随航态变化:

- ① 由于船底流速增加,压力降低,从而使船体下沉,吃水增加。
- ② 因船底和河床边界层厚度均自船首向船尾逐渐增加,因而船尾与河床的间隙比船首更小,流速增加更大,压力降低更甚,船尾下沉较船首大,而产生尾倾。

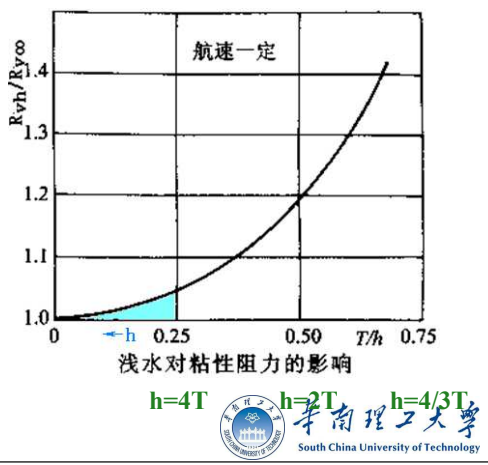


3、对粘性阻力的影响

由于船体下沉舷侧湿面积增加,必然使摩擦阻力增大。

回流使水流与船体的相对速度明显增大,压力下降,压

图中可见,T/h≥0.25,即使无分离现象,浅水对粘性阻力有明显影响,且影响程度随 T/h 的增加而增大。



二、浅水对兴波及兴波阻力的影响

在水深受到限制的情况下,兴波情况变化很大。理论 分析和试验结果都表明与水深博汝德数Frh有关。

$$Fr_h = \frac{V}{\sqrt{gh}} = \frac{V}{\sqrt{gL}} \cdot \sqrt{\frac{L}{h}} = Fr \cdot \sqrt{\frac{L}{h}}$$

由此可知,浅水中的兴波不仅取决于速度参数Fr,而且与水深参数 L/h 有关。讨论浅水影响兴波情况时,均用Frh 作参数。

- 1. 浅水引起波浪参数的改变
- 2. 浅水引起波浪图形的变化
- 3. 浅水对兴波阻力的影响



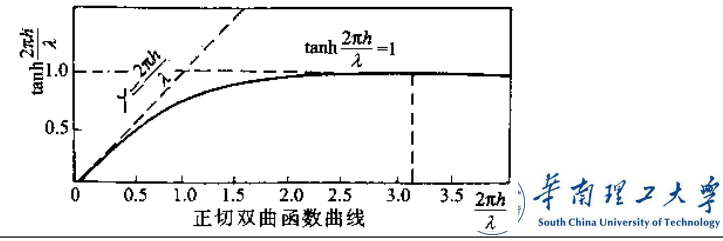
1) 浅水引起波浪参数的改变

按波浪理论,深水波中水质点在其平衡位置附近作轨 圆运动,而当水深有限时,轨圆运动相应变成椭圆运动。

浅水中的波速:
$$c_h = \sqrt{\frac{g\lambda}{2\pi}} \tanh \frac{2\pi h}{\lambda} = c\sqrt{\tanh \frac{2\pi h}{\lambda}}$$

 $C = \sqrt{\frac{g\lambda}{2\pi}}$ 深水波情况波长为 λ 时的波速。

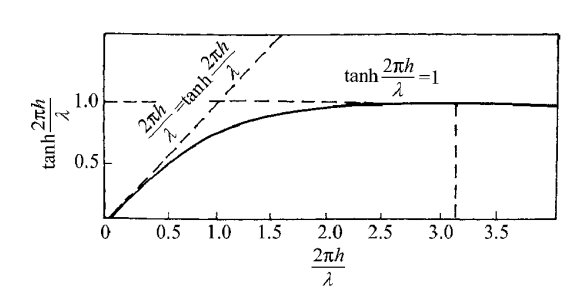
由上式知:浅水中的波速不但与波长有关,还与水深h有关。



(1) 深水情况: $\frac{2\pi h}{\lambda}$ 很大时, $\tanh \frac{2\pi h}{\lambda} \approx 1$,则有:

$$C_h \approx \sqrt{\frac{g\lambda}{2\pi}} = C$$

根据正切双曲函数知: 当 $h=\lambda/2$ 时,则 $C_h=0.996C$,因而当水深满足 $h>\lambda/2$ 时,可以按<mark>深水</mark>情况处理。





(2) 浅水情况,即h为有限值时, $\tanh \frac{2\pi h}{\lambda} < 1$ 则有: $C_h < C$

因此,波长相同的波浪,浅水中的波速将小于深水中的波速,这种现象称为波速损失,显然波速损失 ΔC 应该为:

$$\Delta C = C - C_h = \sqrt{\frac{g\lambda}{2\pi}} - \sqrt{\frac{g\lambda}{2\pi}} \sqrt{\tanh\frac{2\pi h}{\lambda}} = C(1 - \sqrt{\tanh\frac{2\pi h}{\lambda}})$$

或写成
$$\Delta C = V_{\infty}(1 - \sqrt{\tanh\frac{2\pi h}{\lambda}}) = V_{\infty}(1 - \sqrt{\tanh\frac{1}{Fr_h^2}})$$

式中V。为深水中的船速,其数值与波速C相等。



由此可作如下分析:

- ①同一船如果在浅水中和深水中产生相同波长的波浪(即λ相同),在浅水中航行时船速将下降ΔC。这表明浅水情况的兴波阻力较深水情况为大。
- ②如果同一船在浅水中和深水中兴起的<mark>波速相同,即 $C_h=C$,也就是要求两者保持相同航速,则浅水中的波长 λ_h 必定较深水中的波长 λ 为大。这是因为:</mark>



$$C_h = \sqrt{\frac{g\lambda_h}{2\pi}\tanh\frac{2\pi h}{\lambda_h}} = \sqrt{\frac{g\lambda}{2\pi}}\sqrt{\frac{\lambda_h}{\lambda}\tanh\frac{2\pi h}{\lambda_h}}$$

因 $\tanh \frac{2\pi h}{\lambda_h} < 1$, 所以如要求 $C_h = C = \sqrt{\frac{g\lambda}{2\pi}}$, 则 必有 $\lambda_h / \lambda > 1.0$, 即 $\lambda_h > \lambda$ 。

因此,<mark>浅水中兴波的能量</mark>必较深水情况为大, 说明同一船舶在浅水中航行时的兴波阻力较深 水中的为大。



③曲
$$\Delta C = V_{\infty} (1 - \sqrt{\tanh \frac{1}{Fr_h^2}})$$

表明Fr,确实是影响兴波的重要参数。

当 Fr_h <0.5时, Δ C≈0,说明浅水对兴波的影响极小:

 Fr_n 越大,则 Δ C值越大,浅水对兴波的影响越显著。



(3) 水深极浅的情况,即 $\frac{2\pi h}{\lambda}$ 很小

当
$$\frac{2\pi h}{\lambda}$$
 \rightarrow **0**时, $\tanh \frac{2\pi h}{\lambda}$ $\rightarrow \frac{2\pi h}{\lambda}$ $C_h = \sqrt{\frac{g\lambda}{2\pi}} \tanh \frac{2\pi h}{\lambda} = \sqrt{\frac{g\lambda}{2\pi}} \cdot \frac{2\pi h}{\lambda} = \sqrt{gh}$

 \sqrt{gh} -----水深h时的极限波速。

根据<mark>船速与极限波速</mark>的相对大小,可将船速分为 三个阶段:

- ①亚临界速度区: 当 $V < \sqrt{gh}$, 即 $Fr_h < 1.0$
- ②临界速度区: 当 $V = \sqrt{gh}$ 即 $Fr_h = 1.0$
- ③超临界速度区: 当 $V > \sqrt{gh}$, 即 $Fr_h > 1.0$

Fr_h实际上表示了<mark>船速与极限速度</mark>的相对大小,以及船舶所处的航速区。

在不同的航速区内,不仅船舶的运动情况不同,而且兴波阻力,兴波图形有着明显的变化。

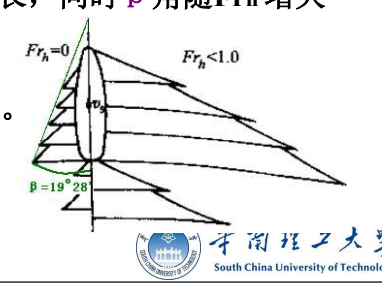
2. 浅水引起波浪图形的变化

▶① 亚临界速度区(Frh = Fr. √L/h <1):

在低航速段,即 Fr_h <0.5,波速损失 $\triangle c$ \approx 0,因此兴波变化极小,开尔文角 β 变化甚微,可认为与深水情况相同。

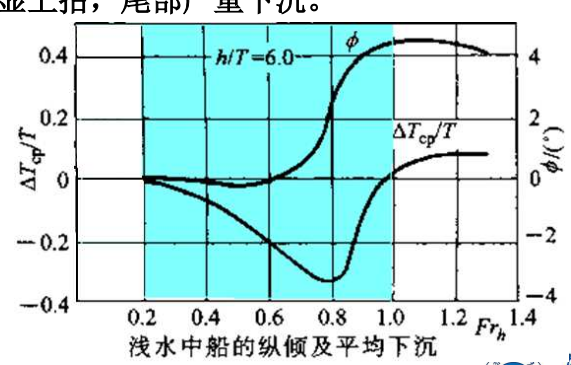
在较高航速段,即0.5<Fr_h<1.0时,浅水中的波长将大于深水中相同航速下的船行波波长,同时 β 角随Fr_h增大

而变大,波浪的覆盖面即兴波的 *Fr*_k=0/ 扇形面扩大,兴波阻力随之增大。



① 亚临界速度区

根据航态观察,在这一速度区内,特别是 $Fr_h \rightarrow 1.0$ 时,有明显的尾倾角 Φ , ΔTcp 为负值,表示船体下沉。船首明显上抬,尾部严重下沉。



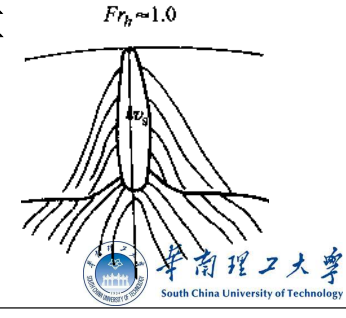
 $\Delta \text{ Tcp=T-Th}$

② 临界速度区

当 $Fr_h \approx 1.0$, $vs \approx \sqrt{gh}$ 时, β 角增大至 90° 。船的横波和散波合并,在船首处形成图示的一个很大的波峰,兴波阻力剧增,此时船的尾倾最大。

理论上该情况仅发生在vs=√gh 时,但试验表明,在

 $vs=(0.8\sim1.2)\sqrt{gh}$ 范围内,都可能不断出现以高于船速向前传播的孤立波,因此,临界速度区确实存在,在这一速度区内,船舶的运动、阻力、波形往往呈不稳定现象。



③ 超临界速度区

当 $Fr_h>1.0$, $vs>\sqrt{gh}$ 时,船速超过水波的极限移动速度,因此横波消失,孤独波亦不存在,仅剩有散波。因散波沿其波顶法线方向运动速度为 $v_s\sin\beta$,考虑到波之极限传播速度为 \sqrt{gh} ,故有: $v_s\sin\beta \leqslant \sqrt{gh}$ $Fr_h>1.0$

 $\mathbb{P} \sin \beta \leq \sqrt{gh} / v_s = 1 / Fr_h$

可见,当 $vs>\sqrt{gh}$ 时, β 将随船 速的提高而减小,即波浪扇形面的范围变小,如图所示。

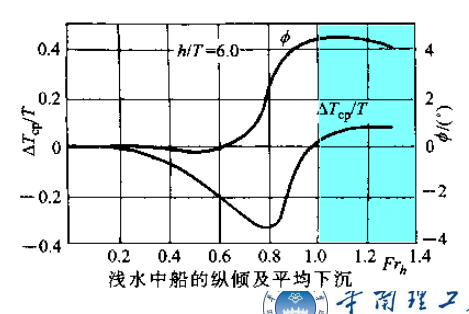


③超临界速度区

由于横波消失,散波宽度随 Fr_h 增大而减小,因而兴 波阻力急剧减小,达到某一船速后,浅水中的总阻力较深 水中的阻力还要低。

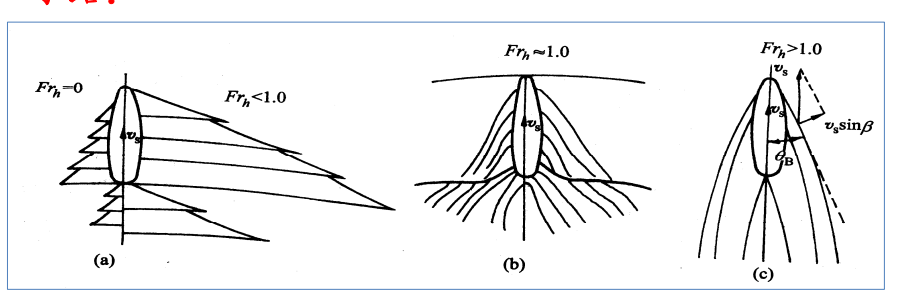
另外航态观察可见:船舶处在超临界速度航行时,如

图所示,尾倾虽有所减 小,但仍较明显,平均 吃水较深水情况要小。



 Δ T_{cp}=T-T_h

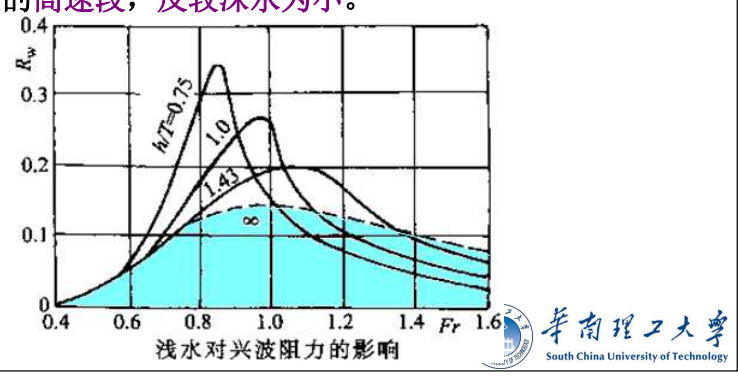
小结:



- · 当Fr_b < 0.5时 , 兴波变化极小 , 所以β角变化甚微
- 当0.5 < Fr, < 1.0时, β角变大 船首明显上抬, 船尾严重下沉
- 当Fr_h≈1.0时,船的横波和散波合并,β角增大至90°,船首处形成很大的 波峰(孤独波) 兴波阻力急剧增加,周期变化,尾倾最大
- ・ 当 ${\rm Fr_h}>1.0$,即 ${\rm V_s}>{\rm V_k}$ 时,船速已超过水波的极限移动速度,因此横波消失,孤独波亦不存在 兴波阻力不断减小,尾倾有所减小,但平均吃水比深水小

3. 浅水对兴波阻力的影响

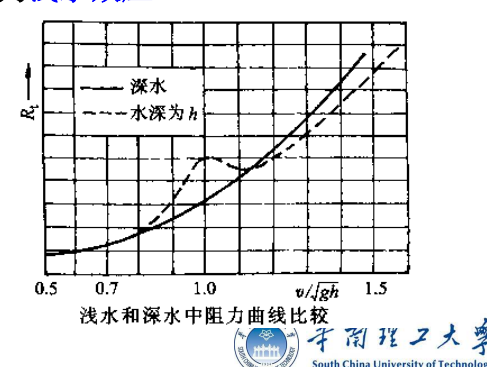
海佛洛克(Havelock)根据兴波理论,得到不同水深时的兴波阻力曲线。所有曲线的峰点所对应的速度均在 $vs/\sqrt{gh}=1.0$ 。此时的阻力较深水阻力大得多,但在超临界速度的高速段,反较深水为小。



三、浅水阻力曲线的特点

综上所述,船舶在有限水深中航行时,由于水浅,使 水与船体的相对速度增大,对粘性阻力产生影响;同时, 兴波图形变化很大,以致使船的阻力性能和船的航态等均 发生变化,这种现象统称为浅水效应。

右图是船在浅水和 深水情况下的阻力曲线 示意图。



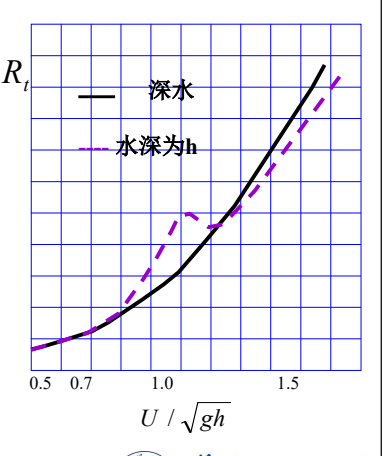
1、在亚临界速度段:

U<0.5 (gh) $^{0.5}$ (0 < F_{rh} <0.5),由于船舶的航速较低,浅水阻力与深水阻力没有明显的变化。这是因为航速较低时,浅水对流场和 R_t 兴波情况的影响很小,所以在这个速度范围一般可以不必考虑浅水影响问题。

2、在亚临界速度段:

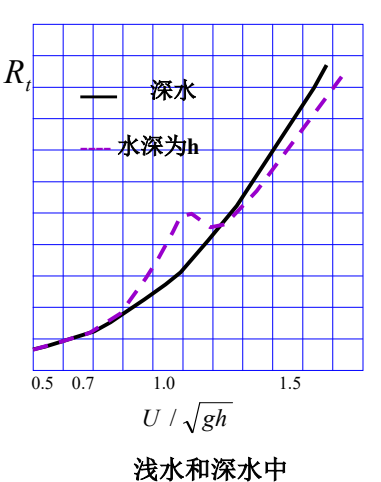
0.5 $(gh)^{0.5} < U < (gh)^{0.5}$

 $(0.5 < F_{rh} < 1.0)$,由于航速增大,浅水影响,特别是浅水对船舶兴波的影响渐趋明显,直至在接近临界速度时船首出现"孤立波",因而浅水情况下的船舶阻力较深水情况显著增加。



援水積深水中フノ 享 阻力曲线比较sity of Technology

- 3、在临界速度处: U= (gh)^{0.5} (F_{rh} =1.0),因不断产生大波幅的孤立波,兴波阻力出现极大值,船舶总阻力亦出现峰值,与深水中相比有很大增加。
- 4、在超临界速度段, $U>(gh)^{0.5}$ $(F_{rh}>1.0)$,船速已超过波浪传播速度的极限,横波消失,散波的覆盖面减小,兴波阻力下降很多,船舶的总阻力增速趋缓,甚至在某速度点之后小于对应的深水阻力。



浅水和深水中 阻力曲线比较



四、不影响阻力的水深条件

浅水对船体阻力的影响在一定情况下相当明显,特别 是实船试航时,如不能正确考虑浅水影响,往往会得出错 误的结果。因而确定不影响阻力的水深条件是很有意义的。 通常认为,满足下列条件可不考虑浅水对阻力的影响。

▶1. 从航速看

由浅水试验知,低速时,浅水对阻力影响很小,一般认为在 Fr_h <0.5时,可以不计浅水影响。由 Fr_h = vs/\sqrt{gh} 因此,不受浅水影响的最小水深为 h_{min} = $4v_s^2/g$ 。



> 2. 从船型看

- ① 泰洛给出的最小水深,对于Cb<0.65的船为: 当Fr<0.27时,h_{min}=33.6FrT 当Fr>0.27时,h_{min}=41.7(Fr-0.06)T
- ② 高速货船: h_{min}>7.0T
- ③ 军舰:如巡洋舰、驱逐舰; h_{min}>(7~12)T
- ④ 滑行艇: h_{min}>0.8L 或 h_{min}>3.0B



▶3. ITTC最小水深公式

ITTC推荐的实船不计浅水影响的最小水深公式:

- 考虑浅水对回流的影响: $h > 3\sqrt{BT}$ (Fr_h=0.5 h_{min}=4v_s²/g)
- 考虑浅水对兴波的影响: h > 2.75v_s²/g

分别按两式计算,并取两者之较大值作为试航时的最小水深。

7.2题舰: L=86m, B=8.95m, T=2.71m, Vs=26kn=13.36 m/s。则 考虑浅水对回流的影响: h>3 $\sqrt{8.95*2.71}$ =14.8 m 考虑浅水对兴波的影响: h>2.75*13.36²/9.81=50.0 m



2 确定浅水阻力的方法

确定浅水阻力或狭水道阻力的最好方法是进行船模试验;但相当多的船模试验池往往不具备该类试验的条件。 因此常用近似方法估算。

一、许立汀中间速度法

二、阿普赫金法



一、许立汀中间速度法

许立汀根据理论分析和大量船模试验结果,提出对给定的船舶,在已知深水阻力的基础上,只要分别计及 浅水对兴波和流场的影响,就可得到浅水中阻力值。浅 水对兴波影响用浅水中的波速损失 △c 表示,而对流场 的影响则用浅水中的回流速度△v 表示。

- 1. 两个假定
- 2. 确定△c和△v值
- 3. 浅水阻力曲线的作法

必须指出的是,许立汀中间速度法仅适用亚临界速度,即适用于船速:

v < √gh 的情况。



在许立汀假定的相等阻力情况下,不同流场中相应速 度关系如表所列。

许立汀中间速度法的相应速度关系

相等的阻力	相应流场中的速度	
	深水情况	浅水情况
Rw,Rr	V∞	vi=v∞-∆c
Rf	Vi	v _h =vi-△v



1. 两个假定

① 由于相同波长的波在浅水中的波速较深水减小 \triangle c,故假定船在深水中以速度 v_∞ 航行时的兴波阻力与在浅水中航速为 $vi=v_\infty$ - \triangle c 时相等。称Vi 为中间速度。实际计算时,上述兴波阻力的假定可以推广到剩余阻力。

② 由于浅水中存在回流速度 $\triangle v$,所以假定船在深水中航速为 vi 时的摩擦阻力与浅水中航速为 v_h =vi- $\triangle v$ 时相当。



2. 确定△c和△v值

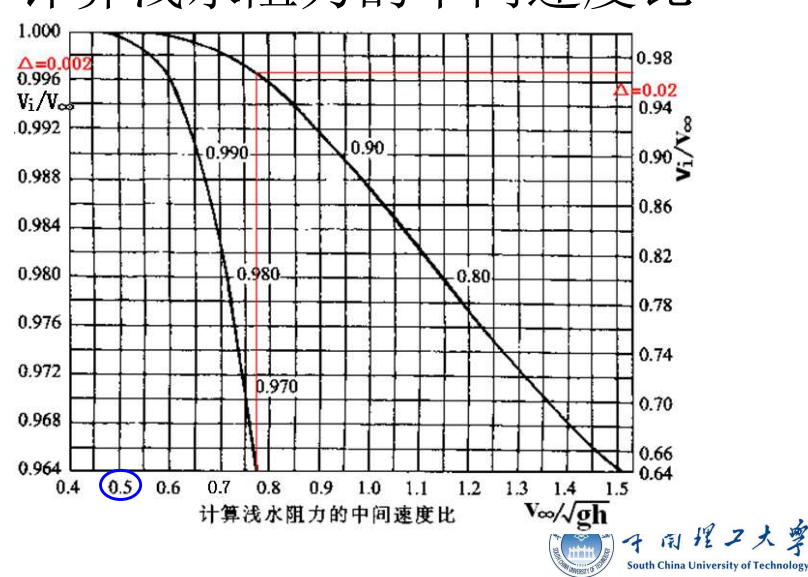
- ① Ac或中间速度vi的确定
- ② Av或浅水航速vh的确定
- ① △c 或中间速度 vi 的确定:

已知水深 h 和 v_∞ 时,可求得相应的 $\triangle c$ 。实用上为方便起见,作中间速度 vi 曲线图,可直接查得 vi 的值。式 (8-3)可化为:

$$\frac{v_i}{v_m} = \frac{v_\infty - \Delta c}{v_m} = \sqrt{\tanh \frac{1}{F_{rh}^2}}$$
 tanh(4)

由图可见,当 F_{rh} <0.5时, vi/v_{∞} 趋于1.0,说明浅水对 兴波阻力的影响可不计。

计算浅水阻力的中间速度比

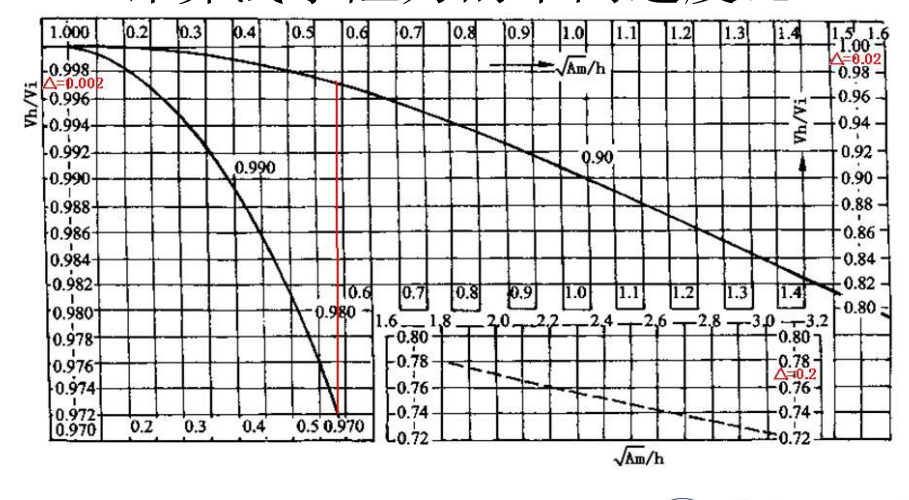


②△v或浅水航速vh的确定

试验结果表明,回流速度 \triangle v与 \sqrt{Am}/h 有关。当已知中间速度vi时,计入回流影响,则浅水中船对于静止水的相对速度为vh=vi- \triangle v,所以许立汀根据模型试验结果直接给出 vh 与 \sqrt{Am}/h 的关系,如图8-11所示。



计算浅水阻力的中间速度比

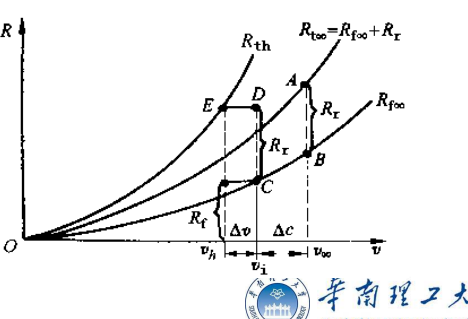


3. 浅水阻力曲线的作法

如已知某船的深水总阻力曲线和摩擦阻力曲线,如图 所示,则按照许立汀假定可求得该船的浅水阻力曲线。具 体作法是:

① 设给定船速v_∞,则在深水总阻力曲线Rt和摩擦阻力曲 线Rf上分别得到A、B R 两点,AB表示在深水 中速度为v_∞ 时的剩余

阻力Rr。



- ▶② 根据已知水深 h 及 v_∞ ,算得相应的 $Frh=v/\sqrt{gh}$ 值,并由图8-10查得 vi/v_∞ 值,进而得中间速度 vi 值。
- ●③ 在Rf_∞曲线上,在 vi 处得C点,并由C点向上量取已得的 Rr值,得 D点。
- 由已知 √Am/h 值,可从图8-11得到 vh/vi值,进而得相应 于v∞时在浅水中的航 速vh值。
- ▶⑤ 在速度坐标轴上截取vh 距离,并作垂直线与过D点的水平线相交于E点,则E点就是水深为h时该船的浅水总阻力曲线上的一点。

同理可作出其他航速时的各相应点,从而得该船的浅水总阻力曲线。 ギカゼス大学

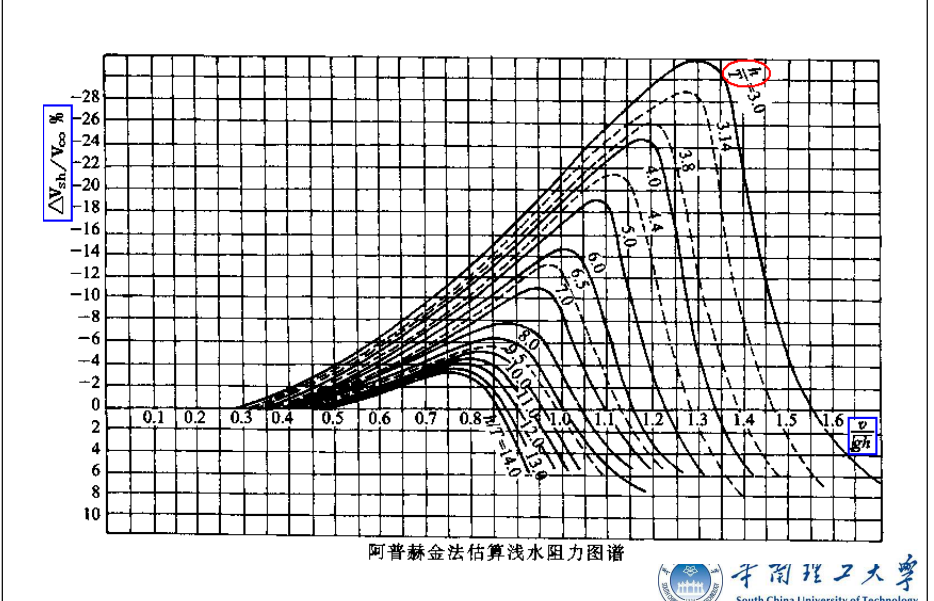
二、阿普赫金法

阿普赫金法是根据比较尖廋船的浅水模型试验结果得到的。对于亚临界速度和超临界速度的船均可适用。

根据不同水深 h 情况的试验结果,绘制不同 h/T 时,船速损失比 $(v_\infty-v_h)/v_\infty=\Delta\,v_{sh}/v_\infty$ 与 v_∞/\sqrt{gh} 曲线,如图所示。

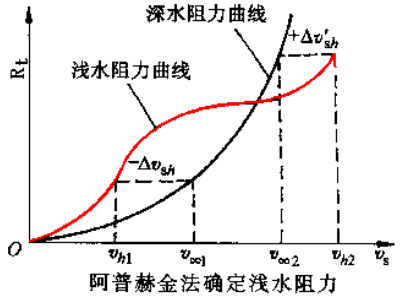


图中 Δ vsh> 0 表示航速增加; 反之表示船速下降。



当已知某船的深水阻力曲线时,可以作出给定水深 h 时的浅水阻力曲线。具体方法为:

- ▶1. 根据水深 h 和深水航速 $\mathbf{v}_{\infty 1}$, 计算 h/T, $\mathbf{Fr}_{\mathbf{h}1} = \mathbf{v}_{\infty 1} / \sqrt{\mathbf{gh}}$.
- ▶2. 由 h/T、Fr_{h1},用内插 法,查图8-13得 △ v_{sh}/v_{∞1}值。
- \gt 3. 相应于 $\mathbf{v}_{\infty 1}$ 有相等阻力 值的浅水航速 $\mathbf{v}_{\text{hl}} = \mathbf{v}_{\infty 1} + \Delta \mathbf{v}_{\text{sh}}$ 。



▶4. 在深水阻力曲线的航速坐标轴 v_{h1} 处作垂直线,并截取v_{∞1}时的深水阻力值,即为浅水阻力曲线上的一点如图。同理作出其他各点,从而得到相应的浅水阻力曲线。显见阿普赫金法不但应用范围较广,而且计算也比较简单方便② 程 ス 大 拿

3 狭水道对阻力的影响

船舶在狭水道(如运河)中航行时,由于 航道深度和宽度都受到限制,导致船舶周围的 流场、兴波、航态及阻力等均与浅水航道中有 许多不同。

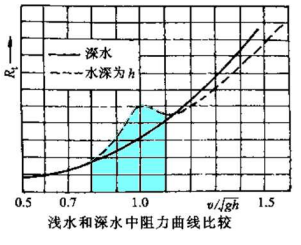


船在狭水道和浅水中航行的差别

▶3. 阻力曲线的特点: 船在狭水道中阻力曲线,在Fr_h= 1.0附近存在临界区,在该区域内阻力值有极为明显的增加: 而临界区的范围与狭水道的宽度、船型有关。

在相同情况下,若狭水道宽增加,临界区域变窄;当 趋于无限宽时,则仅在临界速度时最高,即为浅水问题, 所以浅水可以看作是狭水道的特例。

船在狭水道中高速航行,特别在临界 区航行时,不但阻力很大,而且由于波浪 冲刷可能损毁堤岸,破坏河床,所以狭水 道中航行的船大多为低速船,极少有接近 或超过临界速度的。





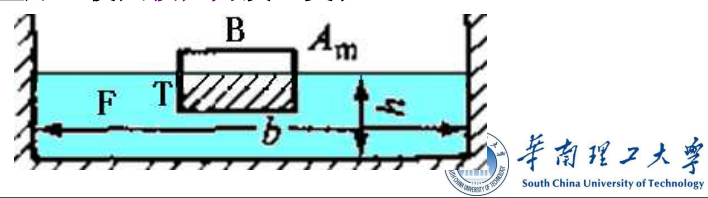
一、船在狭水道和浅水中航行的差别

▶1. 描述狭航道的表征参数:

水深吃水比h/T,相对宽度b/B(或b/L),断面系数F/Am。 式中:b 狭水道的宽,h 狭水道深,F 水道剖面面积;

B船宽、L船长、T吃水,Am船中横剖面面积。

>2. 回流和兴波情况:船在狭水道中航行时,不仅回流速度较浅水时有明显变化,且侧壁还导致散波反射,并与船体波系相互叠加,使兴波阻力发生变化。



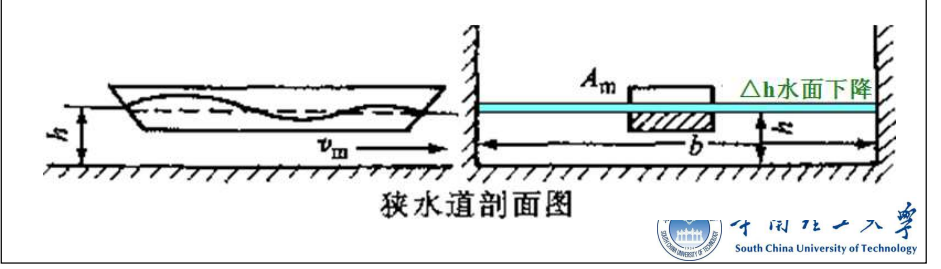
二、船在狭水道中运动的特点

讨论矩形横截面狭水道中绕静止船的流动问题,假定船体横剖面沿船长变化小,船体无纵倾,船的傅汝德数 Fr 较小,可忽略兴波对水面变形的影响。则:

由连续方程**得:** bhv_s = $(bh-A_m-b\triangle_h)v_m$

由伯努利方程: ρg \triangle h=ρ(v_m^2 - v_s^2)/2

或: $\triangle_h=(v_m^2-v_s^2)/2g$



由上述两式,最终得:

$$\frac{v_s}{c} = \frac{v_m}{c} \left[1 - m - \frac{\left(\frac{v_m}{c}\right)^2 - \left(\frac{v_s}{c}\right)^2}{2}\right]$$

式中: $c = \sqrt{gh}$ 为极限波速, $m=A_m/bh$ 称为阻塞系数。

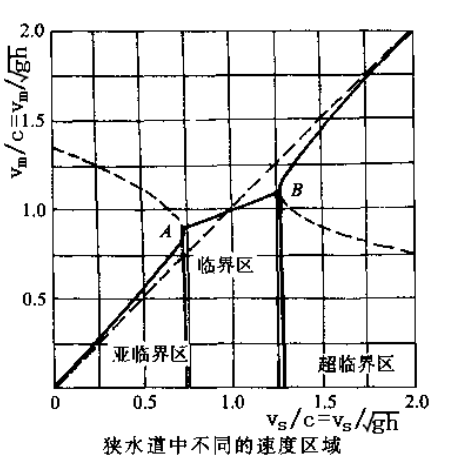
当参数m=常数,给定 vs/c,上式是关于vm/c的三次方程。



图为m=Am/bh=0.1时方程的解。可见对应一个vs/c,速

度 v_m/c 可有两个值,其中虚 线部分仅是数字解,实线才 是实际解。A、B对应的速度 v_1 、 v_2 分别称为第一和第二 临界速度。而 v_1 <v< v_2 的速 度区域为临界区域。

故船在狭水道中航行,按船速可分为如下三个区域:

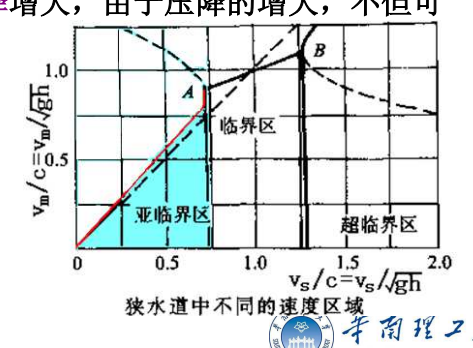




1. 亚临界速度区域

在 $vs/c < v_1/c$ 区域内,水相对船体的速度vm大于船速 vs,因而有回流速度 $\triangle vs = vm-vs$ 。狭水道的回流速度较浅 水大,摩擦阻力有较大的增加;同时回流速度增加,使狭水道中沿船体纵向压降增大,由于压降的增大,不但可

能引起边界层分离, 且使兴波的波幅较浅 水情况大。



亚临界速度区

试验表明:在较低速时,主要是粘性阻力增加;但 Frh>0.5 时,则主要是兴波阻力的增加,特别是当船速接近v₁时,独波以船速一起前进,船体兴波阻力急剧增加。

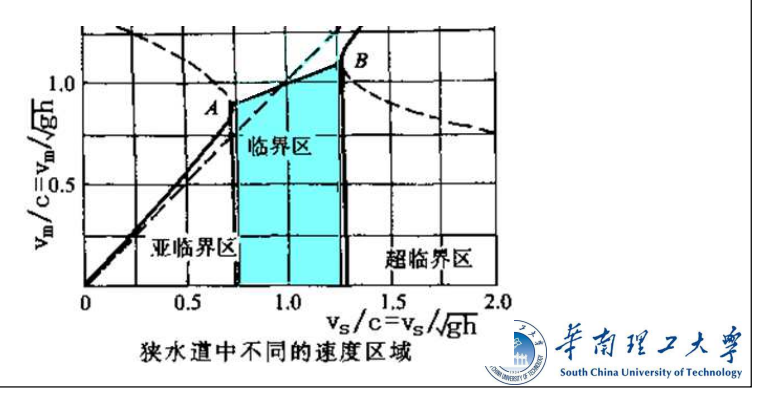
由于回流速度比浅水时大,故相应的压降比浅水大, 从而船体下沉和尾倾比浅水时大,以致可能有船底与河底 相撞的危险。特别是航速较高时,不但这种危险性增大, 而且船体阻力增加很大。

兴波对航道的破坏作用相当明显,为此,狭水道中航行的船舶,其航速都受到限制,要求 $v_s < 0.55 \sqrt{gh}$ 。



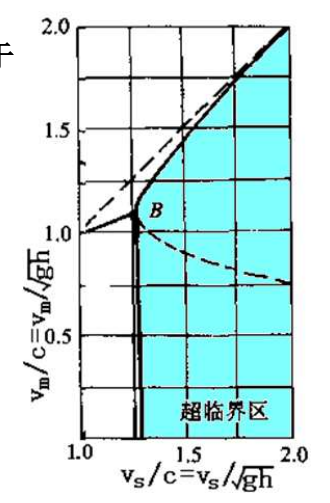
2. 临界速度区域

 $v_1/c < v_2/c$,绕船体的流动既复杂又不稳定。当航速超过 v_1 后,船体阻力增大的情况变得较为缓慢,直至达到 v_2 值,阻力达到最大值。总的看,整个临界速度区域内,由于流态不稳定,船的浮态也很不稳定。



3. 超临界速度区域

v₂/c<vs/c,与亚临界区域相反,由于v_m/c <vs/c,出现负的回流速度,水相对船体的速度小于船速。此时不但摩擦阻力较深水情况为小。且横波已跟不上船速,在船体附近仅剩下扩散逐渐缩小的散波,因而该区域内的阻力反而骤然下降。由于水与船体相对速度减小,所以水面升高,船体正浮,纵倾角也较临界速度区减小。





三、狭水道阻力的估算

在狭水道中航行的船舶,由于航速受到限制,因而大多数都属于在亚临界速度区内航行,其运动特点与在浅水中航行的船舶基本相同。为此,将许立汀中间速度法作适当的引申即可用于狭水道船舶的阻力估算。 具体只需要注意狭水道如下一些特殊情况,并作适当处理:

- (1)由于在狭水道中的航速较低,其较深水情况的阻力增加值认为主要 是粘性阻力。因此在估算狭水道中的船舶阻力时,只考虑与深水航道中回 流速度的增加值,而不考虑船舶兴波变化的影响;
- (2) 考虑到狭水道的表征参数与浅水有所不同,所以在求狭水道中的许立汀回流速度时,使用参数Am^{0.5}/r_h代替浅水问题中的参数Am^{0.5}/h。 其中r₁称为水力半径,表示为:

$$r_h = \frac{bh - A_m}{b + 2h + G_m}$$

式中 Gm- 船舶中横剖面的湿围长度。



End

